

اثر زمان هیدرولیز آنزیمی، درجه حرارت و نسبت آنزیم به سوبسترا روی خصوصیات آنتی اکسیدانی پپتیدهای زیست فعال حاصل از میگو

بهاره شعبانپور^۱، معظمه کردجزی^{۲*}، خاطره نظری^۳، مینا اسمعیلی خاریکی^۴

- ۱- دکتری، استاد گروه فراوری محصولات شیلاتی، دانشگاه علوم کشاورزی و منابع طبیعی گرگان
 ۲- دکتری، استادیار گروه فراوری محصولات شیلاتی، دانشگاه علوم کشاورزی و منابع طبیعی گرگان
 ۳- کارشناسی ارشد فراوری محصولات شیلاتی، دانشگاه علوم کشاورزی و منابع طبیعی گرگان
 ۴- دانشجوی دکتری گروه شیلات، دانشکده علوم دریایی، دانشگاه تربیت مدرس
 (تاریخ دریافت: ۹۳/۱۱/۱۳ تاریخ پذیرش: ۹۳/۱۲/۲۳)

چکیده

پوست، استخوان، اسکلت، سر و دم ماهی و میگو از جمله ضایعاتی هستند که طی فراوری تولید می شوند. این ضایعات می توانند هیدرولیز آنزیمی شده و به واحدهایی با خواص کاربردی سودمند تبدیل گردند. در این راستا پروتئین هیدرولیز شده از ضایعات میگوی ببری سبز (*Penaeus semisulcatus*) توسط آنزیم فلاورزایم تهیه گردید و از روش سطح پاسخ بر اساس ۱۸ تیمار تعیین شده جهت بررسی اثر نسبت آنزیم به سوبسترا، دما و زمان روی پروتئین استفاده شد. آزمایش های مربوط به ارزیابی خواص آنتی اکسیدانی پروتئین هیدرولیز شده تولیدی با سه روش ارزیابی قدرت دفع رادیکال های آزاد DPPH، هیدروکسیل و قدرت احیای آهن انجام شدند. به طور کلی فرآورده های تولیدی پاسخ بهتری به دفع رادیکال DPPH در مقایسه با قدرت دفع رادیکال آزاد هیدروکسیل و قدرت احیای آهن نشان دادند. از میان تیمارهای تولید شده، تیمار ۷ (دما ۵۴/۰۶ درجه سانتی گراد به همراه نسبت آنزیم به سوبسترا ۱/۶۱٪ و مدت زمان ۱۰۵/۸ دقیقه) با درجه هیدرولیز (۳۳/۵٪) و محتوی پروتئین (۷۹/۵٪) به عنوان تیمار بهینه بر اساس بالاترین خواص آنتی اکسیدانی برگزیده شد. نتایج حاصل از تحقیق نشان داد که پروتئین هیدرولیز شده حاصل از میگو می تواند در صنایع غذایی مفید باشد.

کلید واژگان: فلاورزایم، سطح پاسخ، آنتی اکسیدانی، میگوی ببری سبز

* مسئول مکاتبات: kordjazi.m@gmail.com

۱- مقدمه

اولیه متفاوت و با استفاده از پروتئازهای متنوع، به عنوان اجزایی از محصولات آرایشی و بهداشتی، منبع پپتونی در محیط کشت باکتریایی [۹] و مکمل های غذایی خوبی در فعالیت های متابولیکی مختلف هستند [۱۰]. انتخاب آنزیم مناسب بسیار مهم است زیرا آنزیم های متفاوت اختصاصات متفاوتی داشته و محصولاتی با ویژگی های متفاوت ایجاد می کنند [۱۱]. در بیشتر موارد، برای تولید پروتئین هیدرولیز شده از ماهی، پروتئازهای قلیایی (مانند آلکالاز) و خنثی (مانند فلاورزایم، نئوتراز) به دلیل ایجاد تلخی کمتر در محصول نهایی نسبت به پروتئازهای اسیدی (مانند پپسین) ارجحیت بیشتری دارند [۱۲].

روش سطح پاسخ، راه سودمندی برای تحقیق روی فرآیندهای پیچیده است که به طور موفقیت آمیزی برای بهینه سازی شرایط فرآیندها به کار گرفته شده است. آنالیز سطح پاسخ اثر متغیرهای مستقل را به تنهایی یا به صورت ترکیبی در فرآیند نشان می دهد و یک مدل ریاضی فراهم می کند که به شکل دقیقی همه فرآیند را توصیف می کند [۱۳، ۱۴].

بنابراین، با توجه به افزایش جمعیت جهان که نیاز به مواد پروتئینی را افزایش داده و همچنین پتانسیل بالای تولید پروتئین هیدرولیز شده آبزیان در کشور، این پژوهش از ضایعات (سرسینه) میگوی ببری سبز (*P. semisulcatus*) برای تولید پروتئین هیدرولیز شده انجام گرفته است.

۲- مواد و روش ها

۲-۱- میگوی ببری سبز

ضایعات میگوی ببری سبز در سال ۱۳۹۰ به میزان ۱۰ کیلو-گرم از کارخانه فرآوری احرار واقع در استان بوشهر تهیه شده و در ۲۰- درجه سانتی گراد منجمد شدند. سپس به آزمایشگاه فرآوری دانشکده شیلات و محیط زیست دانشگاه علوم کشاورزی و منابع طبیعی گرگان منتقل گشتند. آنزیم مورد استفاده در این تحقیق فلاورزایم (۱۰۰۰ لیتر) بود که از باکتری *Aspergillus oryzae* بدست می آید و از شرکت نوازیم دانمارک در ایران تهیه و تا شروع آزمایش در درجه حرارت ۴ درجه سانتیگراد نگهداری شد.

ارزش بازار پسندی میگو غالباً به دلیل ظاهر و رنگ جذاب و گیرای آن است. رنگدانه اصلی میگوها آستاگزانتین است که یکی از مهمترین رنگدانه های کاروتنوئیدی بوده و بافت را رنگ قرمز- نارنجی می کند. علاوه بر رنگ، کاروتنوئیدها برای داشتن نقش بسیار مهمی که در سلامتی انسان به عنوان آنتی-اکسیدان های زیستی، محافظت کننده سلول ها و بافت ها در برابر آسیب رادیکال های آزاد و اکسیژن تک مولکولی بازی می کنند، مورد توجه هستند [۱].

میگوی ببری سبز (*Penaeus semisulcatus* De Haan, 1844) یک گونه اقیانوس هند و آرام است [۲، ۳] که محیط زیست آن به طور گسترده در مناطق گرمسیری و نیمه گرمسیری جهان، به ویژه در جنوب شرقی آسیا است [۴]. این گونه کفزی بوده و در بسترهای سنگی اعماق ۲ تا ۱۳۰ متری یافت می شود [۵]. گونه میگوی ببری سبز (*P. semisulcatus*) بالغ بر ۸۰ درصد صید کشتی های صیادی استان بوشهر در خلیج فارس را تشکیل می دهد. صید تجارتي این گونه از اوایل دهه ۶۰ و از سواحل ایرانی خلیج فارس آغاز شد [۶] که به دلیل داشتن مقادیر فراوان پروتئین و مواد معدنی و دربرداشتن توازن خوبی از آمینواسیدها منبع غذایی ارزشمندی به حساب می آید [۱].

ضایعات جامد حاصل از عمل آوری میگو شامل ۲۰ تا ۳۰ درصد ماده خشک است که مهمترین مواد موجود در آن پروتئین (حدود ۳۰٪ از این ماده خشک بافت پروتئینی است)، مواد معدنی و کیتین هستند [۷]. هرچند ترکیب تقریبی برای ضایعات میگو بستگی به نحوه فرآوری آن دارد؛ برای مثال در مقایسه با روش دستی پوست کنی، روش مکانیکی پوست کنی میگو، گوشت بیشتری را در ضایعات برجای میگذارد و اغلب مقدار پروتئین بیشتری در ضایعات شامل می شوند. به علاوه ترکیب تقریبی می تواند بر اساس نوع گونه و فصل به اندازه تغذیه متفاوت باشد. به هر حال مقادیر بالای پروتئین در ضایعات میگو پتانسیل زیادی برای تبدیل این ضایعات غیر قابل استفاده به مواد با ارزش افزوده ایجاد می کند [۸].

پروتئین هیدرولیز شده را می توان به عنوان افزودنی خوراکی در تهیه غذای آبزیان برای ثبات کیفیت غذاها در طی فرآوری و انبار کردن به کار برد. بر اساس پژوهش های صورت گرفته، گزارش شده است که پروتئین هیدرولیز شده تهیه شده از مواد

۲-۲- تولید پروتئین هیدرولیز شده میگو

نمونه‌های چرخ شده و بسته‌بندی شده، در دمای ۴ درجه سانتی‌گراد انجماد زدایی و به میزان ۵۰ گرم توزین گردیده و در ارلن مایرهای ۲۵۰ میلی‌لیتری ریخته شدند، سپس میزان ۱۰۰ میلی‌لیتر آب مقطر (نسبت وزنی حجمی ۱:۲) به هر ارلن مایر حاوی نمونه اضافه شده، و به مدت ۲۰ دقیقه در بن‌ماری با دمای ۸۵ درجه سانتی‌گراد جهت غیر فعال نمودن آنزیم‌های داخلی نمونه خام حرارت دهی شدند [۱۵]. pH محلول‌های تهیه شده اندازه‌گیری شده و با اضافه کردن هیدروکسید سدیم ۰/۲ نرمال و یا هیدروکلریک اسید ۲ مولار به pH مورد نظر (فلاورزایم ۶/۳) رسانده شدند. نمونه‌ها در شیکر انکوباتور در دمای مورد نظر (جدول ۱) برای انجام آزمایش‌ها با دور ثابت ۲۰۰ دور در دقیقه قرار داده شدند؛ پس از اینکه دمای نمونه به دمای مورد نظر رسید و درجه حرارت انکوباتور ثابت شد، آنزیم به مقادیر مشخص بر اساس اطلاعات جدول ۱ با میکروسپمپلر به ارلن مایرهای حاوی مخلوط ماده خام اولیه و آب مقطر تزریق شدند. پس از هر نمونه‌گیری (نمونه‌گیری‌ها به صورت تصادفی انجام شدند) و در پایان آزمایش به منظور قطع واکنش آنزیمی، نمونه‌ها در بن‌ماری با دمای ۹۵ درجه سانتی‌گراد به مدت ۱۵ دقیقه حرارت‌دهی شدند [۱۵، ۱۶]. ارلن مایرهای حاوی پروتئین هیدرولیز شده با استفاده از یخ تا رسیدن به دمای محیط سرد و در دمای ۱۰ درجه سانتی‌گراد با دور ۸۰۰۰ g به مدت ۲۰ دقیقه سانتریفیوژ شدند. با استفاده از سمپلر، مایع رویی^۱ آن‌ها جمع‌آوری گردیده و در فریزر ۲۰- درجه سانتی‌گراد تا زمان شروع آزمایش‌ها نگهداری شدند. پس از آن با استفاده از دستگاه خشک‌کن انجمادی^۲ بصورت پودر آماده گردیدند [۱۷]. تولید پروتئین هیدرولیز شده از هر تیمار تعیین شده برای هر آنزیم (برای هر آنزیم ۱۸ تیمار تعیین شد)، بر اساس طرح آماری سطح پاسخ با یک تکرار انجام شد.

۲-۳- درجه هیدولیز

میزان هیدرولیز تری کلرواستیک اسید^۳ اندازه‌گیری شد. مبنای این روش اندازه‌گیری درصد نسبت پروتئین‌های محلول در تری‌کلرواستیک اسید ۱۰٪ به کل پروتئین‌های موجود در نمونه می‌باشد. برای این منظور ۵ میلی‌لیتر از نمونه با ۵ میلی‌لیتر تری‌کلرواستیک اسید ۱۰٪ مخلوط گردیده، سپس با دور ۸۰۰ در دمای ۴ درجه سانتی‌گراد به مدت ۳۰ دقیقه سانتریفیوژ شد. سپس مقدار پروتئین در فاز محلول با استفاده از روش استاندارد^۴ اندازه‌گیری و درصد هیدرولیز از طریق معادله ۱ محاسبه گردید [۱۸].

معادله ۱:

میزان پروتئین حل شده در محلول تری کلرو استیک اسید

۱۰٪ / میزان پروتئین در نمونه = درجه هیدرولیز

۲-۴- تعیین خواص آنتی‌اکسیدانی

۲-۴-۱- قدرت دفع رادیکال آزاد DPPH

با استفاده از روش شیمادا و همکاران (۱۹۹۲) با اندکی تغییرات درصد بازدارندگی رادیکال آزاد DPPH برای تیمار-های فلاورزایم اندازه‌گیری شد. بر اساس این روش ۱/۵ میلی‌لیتر از محلول واکنش را با ۱/۵ میلی‌لیتر از محلول DPPH در اتانول ۹۵٪ با غلظت ۰/۱ میلی‌مول که محلولی بنفش رنگ است به صورت چرخشی مخلوط و سپس ۳۰ دقیقه در دمای اتاق و در تاریکی انکوباسیون گردیدند. پس از این مدت زمان جذب نمونه‌ها در ۵۱۷ نانومتر با اسپکتروفتومتر قرائت گردید. نمونه شاهد نیز به همین ترتیب تهیه شد، فقط به جای نمونه محلول پروتئین هیدرولیز شده از آب مقطر استفاده گردید. سپس با استفاده از معادله زیر درصد دفع رادیکال آزاد DPPH محاسبه شد [۱۹].

معادله ۲:

۱۰۰ × { جذب نمونه شاهد / (جذب نمونه - جذب نمونه

شاهد) } = درصد بازدارندگی

۲-۴-۲- قدرت دفع رادیکال آزاد هیدروکسیل

با استفاده از روش چونگ و همکاران (۱۹۹۷) با اندکی تغییرات قدرت دفع رادیکال آزاد هیدروکسیل اندازه‌گیری

1. Supernatant
2. Freeze Dryer

3. TCA
4. AOAC

هگزانوفرات آبدار ۱٪ مخلوط کرده سپس محلول تهیه شده در تاریکی و دمای ۵۰ درجه سانتی‌گراد به مدت ۳۰ دقیقه انکوباسیون گردید. در مرحله بعد ۲/۵ میلی‌لیتر تری‌کلرواستیک اسید ۱۰٪ به ظروف حاوی مخلوط واکنش اضافه و در دمای اتاق به مدت ۱۰ دقیقه انکوباسیون گردیدند. پس از آن ۲/۵ میلی‌لیتر از مخلوط تهیه شده با ۲/۵ میلی‌لیتر آب مقطر و ۰/۵ میلی‌لیتر کلریدفریک آبدار ۰/۱٪ به خوبی مخلوط کرده و با جذب نمونه‌ها در ۷۰۰ نانومتر با اسپکتروفوتومتر قرائت، و با استفاده از معادله ۲ درصد احیای آهن محاسبه گردید. در تهیه نمونه شاهد به جای پروتئین هیدرولیز شده از آب مقطر استفاده شده است [۲۱].

۲-۵- تجزیه و تحلیل آماری

آزمایشات براساس روش کاملاً تصادفی در قالب طرح مرکب مرکزی CCD شامل چهار تکرار در نقطه مرکزی (F)، ۳ⁿ نقطه فاکتوریل و ۲n نقطه محوری (n=۳) و جمعاً ۱۸ تیمار انجام شد. مقدار α (فاصله نقاط محوری از مرکز طرح و مقادیر کدگذاری شده) ۱/۶۸۲ محاسبه شد. سطوح آزمون و مقادیر واقعی بر اساس رابطه تبدیل مقادیر کدگذاری شده بدست آمدند و در جدول ۱ ثبت شدند. در این روش هر متغیر مستقل در ۵ سطح مورد آزمون قرار می‌گیرد.

گردید. طبق این روش ۲۰۰ میکرولیتر سولفات آهن آبدار (FeSO₄.7H₂O) با غلظت ۱۰ میلی‌مول را با ۲۰۰ میکرو-لیتر EDTA با غلظت ۱۰ میلی‌مول، ۲۰۰ میکرولیتر دی‌اکسی-ریبوز با غلظت ۱۰ میلی‌مول، ۲۰۰ میکرولیتر محلول پروتئین هیدرولیز شده رقیق شده و ۱ میلی‌لیتر محلول بافر فسفات ۰/۲ مولار (pH ۷/۴) به خوبی مخلوط گردیده، سپس ۲۰۰ میکرو-لیتر H₂O₂ با غلظت ۱۰ میلی‌مول به آن افزوده و در ۳۷ درجه سانتی‌گراد به مدت ۴ ساعت در انکوباتور قرار گرفت. سپس ۱ میلی‌لیتر تری‌کلرواستیک اسید ۲/۸٪ و ۱ میلی‌لیتر تیوباربتوریک اسید ۲۰ میلی‌مول به آن اضافه نموده و به خوبی مخلوط گردید. سپس نمونه را در حمام آبی با دمای ۱۰۰ درجه سانتی‌گراد به مدت ۱۵ دقیقه قرار داده و پس از آن با غوطه‌وری در مخلوط آب و یخ به مدت ۵ دقیقه ظروف حاوی نمونه‌ها سرد و جذب آن‌ها در ۵۳۲ نانومتر قرائت گردید. و با استفاده از معادله ۲ درصد دفع رادیکال آزاد هیدروکسیل محاسبه شد. در نمونه شاهد به جای پروتئین هیدرولیز شده از آب مقطر استفاده گردیده است [۲۰].

۲-۴-۳- قدرت احیای آهن (Fe²⁺ به Fe³⁺)

بر اساس روش ایایزو (۱۹۸۶) مقدار ۱ میلی‌لیتر از پروتئین هیدرولیز شده رقیق شده را با ۲/۵ میلی‌لیتر محلول بافر فسفات (غلظت ۰/۲ مول و pH ۶/۶) و ۲/۵ میلی‌لیتر محلول پتاسیم

جدول ۱ مقادیر عوامل متغیر برای آنزیم فلاورزایم

متغیرها	+α	+1	0	-1	-α
نسبت آنزیم به سوبسترا (X ₁) (%)	۴	۳/۳۹	۲/۵	۱/۶۱	۱
دما (X ₂) (°C)	۷۰	۶۵/۹۴	۶۰	۵۴/۰۶	۵۰
زمان (دقیقه) (X ₃)	۱۲۰	۱۰۵/۸	۸۵	۶۴/۲	۵۰

معادله ۳: $Y = \beta_0$

$$\beta_{ij}X_iX_j + \sum_{j=H}^3 \sum_{i=H}^2 \beta_{ij}X_i^2 + \sum_{i=H}^3 \beta_iX_i + \sum_{i=H}^3$$

که در آن Y نشان دهنده متغیر تابع یا پاسخ (قدرت دفع رادیکال‌های آزاد DPPH)، β_0 (عرض از مبدأ) عدد ثابت، β_i ، β_{ij} و β_{ij} ضرایب مدل رگرسیون و X_i و X_j متغیرهای مستقل هستند. در روش RSREG پارامترهای یک معادله درجه دوم

۲-۶- آنالیز داده های نتایج

برای تحلیل داده‌ها و بیان روابط بین متغیرها از تحلیل رگرسیونی استفاده شد. روش رگرسیون سطح پاسخ (RSREG)، با استفاده از نرم افزار آماری (SAS، نسخه ۹/۱) به منظور برازش معادله چند جمله‌ای زیر استفاده شد:

روش‌های گرافیکی (دو و سه بعدی) به منظور تعیین اثرات متغیرها و اثرات متقابل احتمالی آنها بر خواص آنتی‌اکسیدانی محصول به کار می‌روند. رسم نمودار سطح پاسخ ارتباط بین متغیرهای مستقل و متغیر وابسته را نشان می‌دهد. با مطالعه این نمودارها و سطوح پاسخ، نواحی مطلوب نمودار بر اساس خواص آنتی‌اکسیدانی پروتئین هیدرولیز شده تولیدی شناسایی می‌شود و می‌توان بهینه‌سازی نهایی را انجام داد.

۳-۳-۱- اثر شرایط مختلف تولید بر قدرت دفع رادیکال آزاد DPPH پروتئین هیدرولیز شده تولیدی

با آنزیم فلاورزایم

آنالیز واریانس اثر ساده متغیرهای فرآیند بر قدرت دفع رادیکال آزاد DPPH (جدول ۵) نشان می‌دهد که اثر دو متغیر نسبت آنزیم به سوبسترا و دمای واکنش معنی‌دار شده است ($p < 0/05$).

۳-۳-۲- تأثیر شرایط مختلف تولید بر قدرت دفع رادیکال آزاد هیدروکسیل پروتئین هیدرولیز شده تولیدی با آنزیم فلاورزایم

همان‌گونه که نمودارهای سطح پاسخ و کانتور (شکل ۴) اثرات همزمان مقدار آنزیم و دما نمایان است در مقادیر حداقل مقدار آنزیم و دما قدرت دفع رادیکال آزاد هیدروکسیل حداکثر می‌باشد. آنالیز واریانس اثر ساده متغیرهای فرآیند بر قدرت دفع رادیکال آزاد هیدروکسیل (جدول ۵) نشان می‌دهد که اثر دو متغیر زمان و دمای واکنش معنی‌دار شده است ($p < 0/05$). نمودارهای سطح پاسخ و کانتور (شکل ۵) اثرات همزمان مقدار آنزیم و زمان بر قدرت دفع رادیکال آزاد هیدروکسیل نشان دهنده افزایش قدرت دفع رادیکال هیدروکسیل در مقابل افزایش زمان واکنش تا محدوده نقاط مرکزی می‌باشد و آنچنان‌که مشاهده می‌گردد مقدار آنزیم تأثیری بر قدرت دفع رادیکال هیدروکسیل پروتئین هیدرولیز شده می‌گردد. نمودارهای (شکل ۶) اثرات همزمان دما و زمان نشان می‌دهند که با افزایش همزمان هر دو متغیر دما و زمان تا محدوده نقاط مرکزی قدرت دفع رادیکال هیدروکسیل افزایش می‌یابد و پس از آن با افزایش همزمان دما و زمان واکنش، قدرت آنتی-رادیکالی فرآورده کاهش می‌یابد.

کامل که تشکیل سطح می‌دهند، بر داده‌ها برازش شده و مقادیر بهینه هر یک از پارامترها و سطح حاصل از معادله درجه دوم بر داده‌های برازش داده شده، تعیین شد. سپس نمودارهای سطح پاسخ و کانتور، با استفاده از نرم افزار MATLAB، نسخه ۶/۵ رسم گردیدند.

۳- نتایج

۳-۱- تأثیر نوع آنزیم

درجه هیدرولیز و خواص آنتی‌اکسیدانی پروتئین هیدرولیز شده توسط آنزیم فلاورزایم مورد مطالعه قرار گرفت که نتایج آن در زیر ارائه شده است. نتایج سنجش درجه هیدرولیز مربوط به تیمارهای تولید شده با آنزیم فلاورزایم معادل ۳۳/۵٪ است.

۳-۲- بهینه‌سازی فرآیند هیدرولیز پروتئین

۳-۲-۱- بررسی مدل‌های برازش شده

نتایج به دست آمده از آزمایش‌ها بر روی پروتئین هیدرولیز شده با آنزیم فلاورزایم به صورت مقادیر پاسخ در طرح مرکب مرکزی در جدول ۲ نشان داده شده است. دستورالعمل RSREG در نرم افزار SAS به منظور برازش معادله چند جمله‌ای درجه دوم برای داده‌های آزمایشی استفاده شد. تمام ضرایب ساده (X_1, X_2, X_3) ، درجه دوم (X_{11}, X_{22}, X_{33}) و اثرات همزمان آن‌ها (X_{21}, X_{31}, X_{32}) برای بررسی معنی‌دار بودن با آزمون t محاسبه و ضرایب برآورد شده برای مدل‌های رگرسیونی هر یک از نسبت آنزیم به سوبسترا، دما و زمان واکنش بر ویژگی‌های آنتی‌اکسیدانی در جدول ۳ ارائه شده است. به منظور تعیین معادلات مدل سطح پاسخ برازش شده، تمام ضرایب فاقد معنی ($P > 0/05$) حذف شدند و ضرایب معنی‌دار به صورت مدل در جدول ۴ نشان داده شده است. همچنین معنی‌داری و اعتبار مدل پیش از استفاده بررسی شد تا صحت و اثر بخشی مدل تعیین شود.

۳-۳- پلات‌های سطح پاسخ و اثر فاکتورها

بعد از تشخیص اعتبار مدل به لحاظ آماری، می‌توان آن را به منظور آنالیز و برآورد اثر سطوح مختلف متغیرها بر خواص آنتی‌اکسیدانی پروتئین هیدرولیز شده تولیدی به کار برد.

جدول ۲ طرح مرکب مرکزی و پاسخ‌های متغیرهای وابسته به متغیرهای مستقل برای تولید پروتئین هیدرولیز شده از ضایعات میگوی ببری سبز با استفاده از آنزیم فلاورزایم و درجه هیدرولیز

DH	Y ₃	Y ₂	Y ₁	X ₃	X ₂	X ₁	مشاهدات
۱۴/۸	۳۵/۷	۹۰/۵	۸۹/۴	۱	۱	۱	۱
۱۱/۴	۴۰/۹	۸۸/۸	۸۱/۳	-۱	۱	۱	۲
۲۴/۸	۱۶/۳	۹۱/۲	۹۵/۸	۱	-۱	۱	۳
۱۸/۶	۳۱/۱	۸۹/۹	۸۹/۴	-۱	-۱	۱	۴
۲۱/۵	۳۳/۳	۸۷/۱	۹۳/۴	۱	۱	-۱	۵
۱۷	۳۸/۸	۸۶/۵	۹۱/۴	-۱	۱	-۱	۶
۳۳/۵	۴۹/۷	۹۱/۱	۸۶/۱	۱	-۱	-۱	۷
۳۳	۲۶/۸	۹۱/۷	۹۱/۲	-۱	-۱	-۱	۸
۳۰/۱	۴۳/۲	۸۹/۲	۸۴/۲	۱/۶۸۲	۰	۰	۹
۳۱	۳۱/۹	۹۰/۴	۸۹/۶	-۱/۶۸۲	۰	۰	۱۰
۲۰/۸	۴۷/۵	۸۸/۶	۹۰	۰	۱/۶۸۲	۰	۱۱
۲۴/۵	۱۶/۸	۹۲/۴	۹۳/۸	۰	-۱/۶۸۲	۰	۱۲
۱۰/۸	۳۳/۷	۹۱/۷	۹۳/۵	۰	۰	۱/۶۸۲	۱۳
۳۲/۹	۲۶/۸	۹۲/۲	۹۱/۲	۰	۰	-۱/۶۸۲	۱۴
۳۳/۵	۱۶/۶	۹۲/۹	۸۴/۹	۰	۰	۰	۱۵
۳۰/۷	۲۱/۴	۹۱/۷	۸۸/۲	۰	۰	۰	۱۶
۲۸/۹	۱۷/۸	۹۲/۱	۸۵/۲	۰	۰	۰	۱۷
۳۲/۶	۱۲/۸	۹۲/۹	۸۲/۳	۰	۰	۰	۱۸

X₁ (نسبت آنزیم به سویسترا، %)، X₂ (دما، درجه سانتی‌گراد)، X₃ (زمان، دقیقه)، Y₁ (قدرت دفع رادیکال DPPH، %)، Y₂ (قدرت دفع رادیکال X₁ (نسبت آنزیم به سویسترا، %)، X₂ (دما، درجه سانتی‌گراد)، X₃ (زمان، دقیقه)، Y₁ (قدرت دفع رادیکال DPPH، %)، Y₂ (قدرت دفع رادیکال

هیدروکسیل، %)، Y₃ (قدرت احیای آهن، %)

جدول ۳ ضرایب معادله چند جمله‌ای برازش شده برای پاسخ‌های مختلف

Y ₃	Y ₂	Y ₁	پارامتر	آنزیم
۱۷/۱۶۲۹۶۲*	۹۲/۴۵۲۳۶۴*	۸۵/۱۹۸۱۸۳*	عرض از مبدأ	
-۰/۹۵۳۳۳۰	۰/۲۳۱۵۹۰	-۰/۱۷۱۲۰۱	X ₁	
۵/۵۹۷۴۴۴*	-۱/۲۷۴۰۳۸*	-۰/۹۸۰۸۸۶	X ₂	
۱/۲۰۰۷۵۰	۰/۰۷۲۱۱۵	۰/۱۷۰۶۱۴	X ₃	
۴/۵۸۵۱۳۱	-۰/۳۸۱۹۲۳	۲/۳۴۱۶۹۹*	X ₁₁	فلاورزایم
۴/۲۰۰۰۰۰	۰/۹۲۵۰۰۰*	-۲/۷۵۰۰۰۰*	X ₂₁	
۵/۲۵۸۳۱۷*	-۰/۹۰۰۶۷۱*	۲/۱۸۲۲۶۱*	X ₂₂	
-۴/۶۷۵۰۰۰	۰/۳۷۵۰۰۰	۲/۲۰۰۰۰۰*	X ₃₁	
-۲/۳۵۰۰۰۰	۰/۲۰۰۰۰۰	۱/۱۰۰۰۰۰	X ₃₂	
۷/۱۷۱۵۸۲*	-۱/۱۴۸۶۸۶*	۰/۴۱۰۷۱۹	X ₃₃	

* معنی دار p ≤ 0.05

جدول ۴ مدل سطح پاسخ

P-Value	R ²	معادله چند جمله‌ای	پاسخ‌ها	آنزیم
۰/۰۵۲	۰/۷۸۹	$Y_1 (\%) = 85.198 + 2.341X_1^2 - 2.750X_2 * X_1 + 2.182X_2^2 + 2.200X_3 * X_1$	Y ₁	
۰/۰۰۹	۰/۸۷۰	$Y_2 (\%) = 92.452 - 1.274 X_2 + 0.925 X_2 * X_1 - 0.900 X_2^2 - 1.148 X_3^2$	Y ₂	فلاورزایم
۰/۰۵۴	۰/۷۸۶	$Y_3 (\%) = 17.162 + 5.597 X_2 + 5.258 X_2^2 + 7.171 X_3^2$	Y ₃	

X₁ (نسبت آنزیم به سویسترا، %)، X₂ (دما، درجه سانتی‌گراد)، X₃ (زمان، دقیقه) Y₁ (قدرت دفع رادیکال آزاد DPPH، %)، Y₂ (قدرت دفع رادیکال آزاد DPPH، %)، Y₃ (قدرت احیای آهن، %)

جدول ۵ آنالیز واریانس (ANOVA) اثر ساده متغیرها بر ویژگی‌های مورد آزمایش

سطح P	سطح F	میانگین مربعات	مجموع مربعات	درجه آزادی	متغیر	پاسخ‌ها	آنزیم
۰/۰۲۰	۵/۴۶۴	۴۲/۱۹۴	۱۶۸/۷۷۷	۴	X ₁	Y ₁	فلاورزایم
۰/۰۳۱	۴/۶۴۱	۳۵/۸۴۲	۱۴۳/۳۶۹	۴	X ₂		
۰/۲۵۳	۱/۶۴۹	۱۲/۷۳۱	۵۰/۹۲۴	۴	X ₃		
۰/۱۱۲	۲/۶۴۵	۲/۶۴۷	۱۰/۵۸۹	۴	X ₁	Y ₂	فلاورزایم
۰/۰۰۳	۹/۸۷۸	۳/۸۸۵	۳۹/۵۴۳	۴	X ₂		
۰/۰۳۳	۴/۵۳۵	۴/۵۳۹	۱۸/۱۵۷	۴	X ₃		
۰/۱۲۳	۲/۵۲۰	۱۴۸/۳۷۷	۵۹۳/۵۱۰	۴	X ₁	Y ₃	فلاورزایم
۰/۰۴۳	۴/۰۸۲	۲۴۰/۳۸۱	۹۶۱/۵۲۶	۴	X ₂		
۰/۰۵۲	۳/۷۶۷	۲۲۱/۸۳۶	۸۸۷/۳۴۵	۴	X ₃		

X₁ (نسبت آنزیم به سویسترا، %)، X₂ (دما، درجه سانتی‌گراد)، X₃ (زمان، دقیقه) Y₁ (قدرت دفع رادیکال آزاد DPPH، %)، Y₂ (قدرت دفع رادیکال آزاد DPPH، %)، Y₃ (قدرت احیای آهن، %)

جدول ۶ آنالیز واریانس (ANOVA) پاسخ متغیرهای وابسته

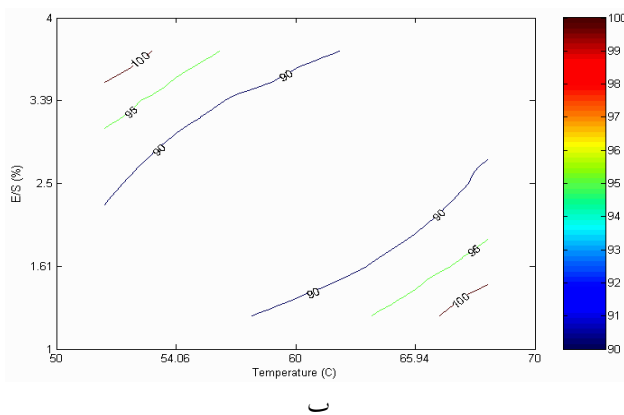
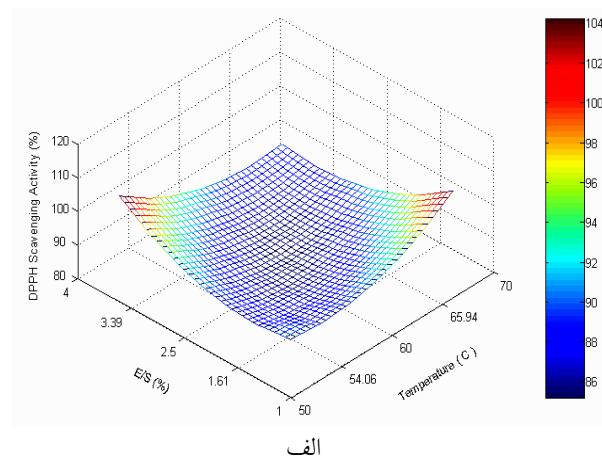
سطح P	سطح F	R ²	مجموع مربعات	درجه آزادی	منابع	پاسخ‌ها	آنزیم
۰/۰۵۲	۳/۳۳۴	۰/۷۸۹	۲۳۱/۶۸۴	۹	مدل رگرسیون	Y ₁	فلاورزایم
۰/۶۳۲	۰/۶۰۱	۰/۰۴۷	۱۳/۹۲۵	۳	ساده		
۰/۰۳۵	۴/۶۹۹	۰/۳۷۰	۱۰۸/۸۵۹	۳	درجه دوم		
۰/۰۳۵	۴/۷۰۱	۰/۳۷۱	۱۰۸/۹۰۰	۳	همزمان	Y ₂	فلاورزایم
۰/۰۰۹	۵/۹۵۸	۰/۸۷۰	۵۳/۶۶۲	۹	مدل رگرسیون		
۰/۰۰۹	۷/۶۴۴	۰/۳۷۲	۲۲/۹۵۰	۳	ساده	Y ₃	
۰/۰۱۰	۷/۴۶۸	۰/۳۶۳	۲۲/۴۲۲	۳	درجه دوم		
۰/۱۱۱	۲/۷۶۱	۰/۱۳۴	۸/۲۹۰	۳	همزمان	Y ₃	فلاورزایم
۰/۰۵۴	۳/۲۷۶	۰/۷۸۶	۱۷۳۶/۱۵۸	۹	مدل رگرسیون		
۰/۱۲۴	۲/۶۰۱	۰/۲۰۸	۴۵۹/۵۸۴	۳	ساده	Y ₃	
۰/۰۲۷	۵/۱۸۷	۰/۴۱۵	۹۱۶/۴۲۹	۳	درجه دوم		
۰/۱۸۷	۲/۰۳۹	۰/۱۶۳	۳۶۰/۱۴۵	۳	همزمان		

X₁ (نسبت آنزیم به سویسترا، %)، X₂ (دما، درجه سانتی‌گراد)، X₃ (زمان، دقیقه) Y₁ (قدرت دفع رادیکال آزاد DPPH، %)، Y₂ (قدرت دفع رادیکال آزاد DPPH، %)، Y₃ (قدرت احیای آهن، %)

جدول ۷ آنالیز باقیمانده‌های مدل‌های رگرسیون

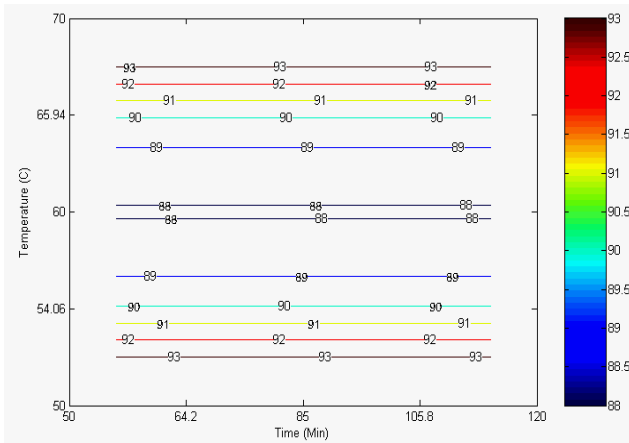
آنزیم	پاسخ	منابع	درجه آزادی	مجموع مربعات	میانگین مربعات	سطح F	سطح P
فلاورزایم	Y ₁	عدم برازش	۵	۴۴/۲۸۸	۸/۸۵۷	۱/۵۱۹	۰/۳۸۸
		خطای خالص	۳	۱۷/۴۹۰	۵/۸۳۰		
		خطای کل	۸	۶۱/۷۷۸	۷/۷۲۲		
فلاورزایم	Y ₂	عدم برازش	۵	۶/۹۲۶	۱/۳۸۵	۳/۸۴۸	۰/۱۴۸
		خطای خالص	۳	۱/۰۸۰	۰/۳۶۰		
		خطای کل	۸	۸/۰۰۶	۱/۰۰۰		
فلاورزایم	Y ₃	عدم برازش	۵	۴۳۳/۳۹۳	۸۶/۶۷۸	۶/۸۹۶	۰/۰۷۱
		خطای خالص	۳	۳۷/۷۱۰	۱۲/۵۷۰		
		خطای کل	۸	۴۷۱/۱۰۳	۵۸/۸۸۷		

X₁ (نسبت آنزیم به سویسترا، %)، X₂ (دما، درجه سانتی‌گراد)، X₃ (زمان، دقیقه) Y₁ (قدرت دفع رادیکال آزاد DPPH، %)، Y₂ (قدرت دفع رادیکال آزاد هیدروکسیل، %)، Y₃ (قدرت احیای آهن، %)

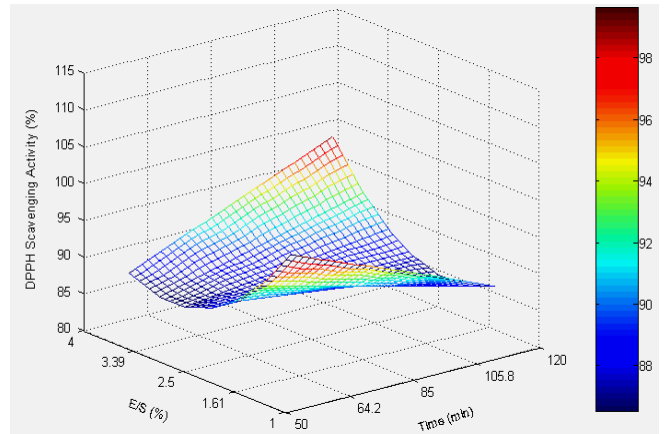


شکل ۱ سطح پاسخ سه بعدی (الف) و کانتور دوبعدی (ب) تأثیر همزمان مقدار آنزیم و دما بر قدرت دفع رادیکال آزاد DPPH پروتئین هیدرولیز شده ضایعات میگوی ببری سبز با آنزیم فلاورزایم

همان‌گونه که در نمودار کانتور و نیز سطح پاسخ (شکل ۱) اثرات همزمان مقدار آنزیم و دما دیده می‌شود در مقدار ثابت و کم آنزیم با افزایش دما، افزایش قدرت دفع رادیکال DPPH پروتئین هیدرولیز شده مشاهده می‌گردد. همچنین در دمای ثابت ۵۴/۰۶ درجه سانتی‌گراد با افزایش مقدار آنزیم قدرت دفع رادیکال آزاد DPPH پروتئین هیدرولیز شده میگوی ببری سبز افزایش می‌یابد و مشاهده می‌گردد که افزایش همزمان دما و مقدار آنزیم بر قدرت دفع رادیکال DPPH اثر منفی دارد. آنچنان که در نمودارهای سطح پاسخ و کانتور (شکل ۲) اثرات همزمان مقدار آنزیم و زمان، مشاهده می‌گردد قدرت دفع رادیکال DPPH با افزایش یا کاهش همزمان مقدار آنزیم و زمان واکنش از نقطه مرکزی، افزایش داشته است. نمودارهای سطح پاسخ و کانتور (شکل ۳) اثرات همزمان دما و زمان نشان می‌دهد با افزایش و کاهش دما از نقطه مرکزی قدرت دفع رادیکال DPPH پروتئین هیدرولیز شده میگوی ببری سبز افزایش داشته و در این خصوص افزایش یا کاهش مدت زمان واکنش بی‌تأثیر بوده است.

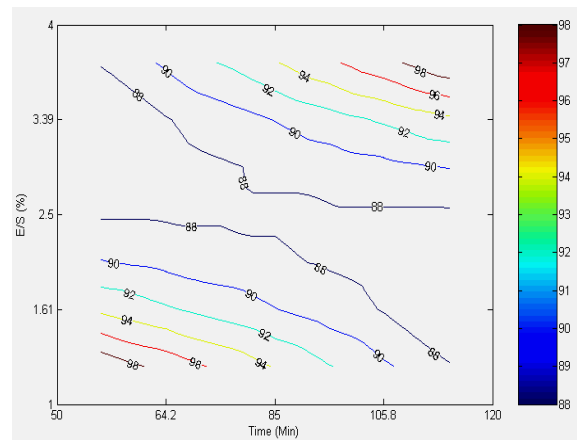


ب



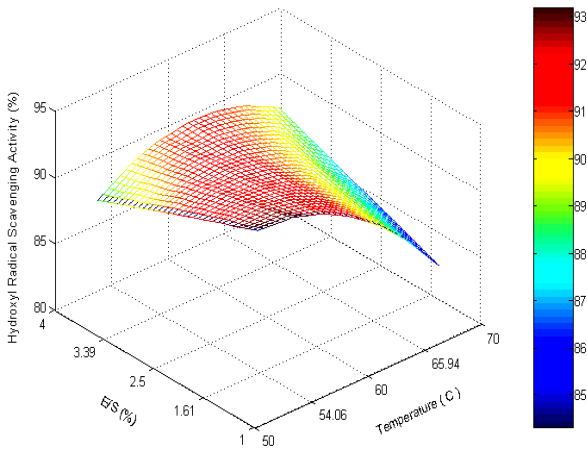
الف

شکل ۳ سطح پاسخ سه بعدی (الف) و کانتور دو بعدی (ب) تأثیر همزمان دما و زمان بر قدرت دفع رادیکال آزاد DPPH پروتئین هیدرولیز شده ضایعات میگوی ببری سبز با آنزیم فلاورزایم

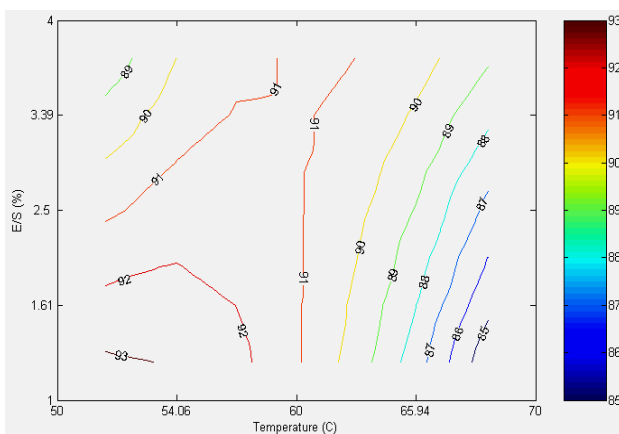


ب

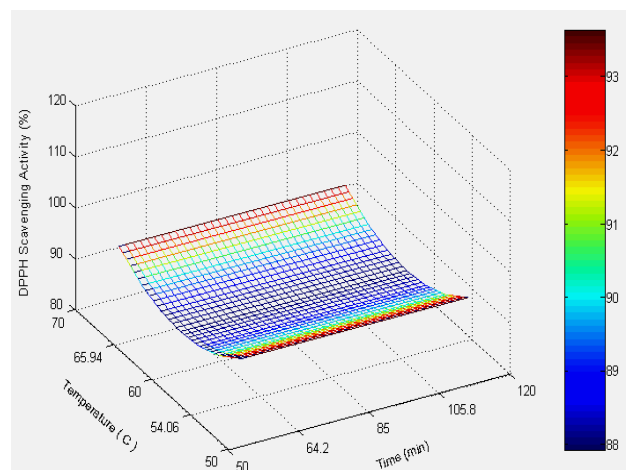
شکل ۲ سطح پاسخ سه بعدی (الف) و کانتور دو بعدی (ب) تأثیر همزمان مقدار آنزیم و زمان بر قدرت دفع رادیکال آزاد DPPH پروتئین هیدرولیز شده ضایعات میگوی ببری سبز با آنزیم فلاورزایم



الف

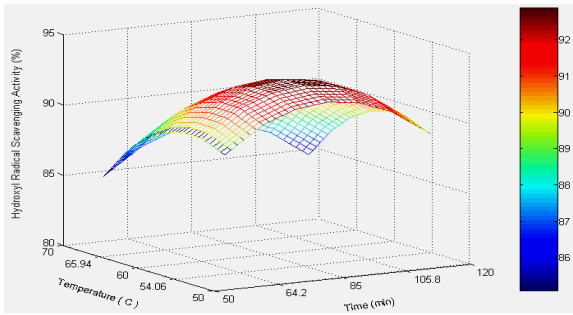


ب

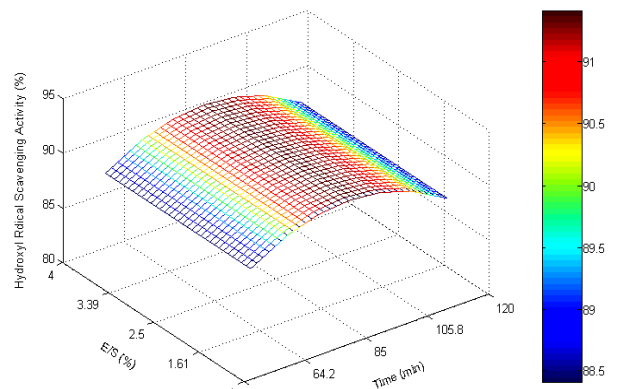


الف

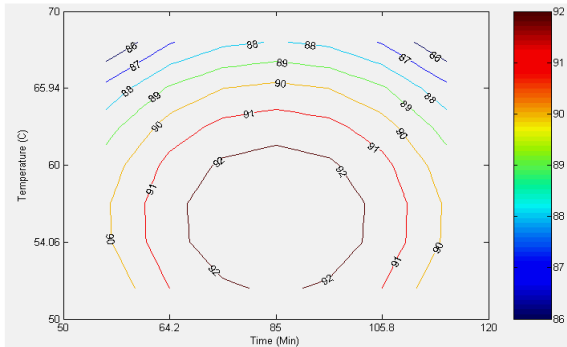
شکل ۴ سطح پاسخ سه بعدی (الف) و کانتور دو بعدی (ب) تأثیر همزمان مقدار آنزیم و دما بر قدرت دفع رادیکال آزاد هیدروکسیل پروتئین هیدرولیز شده ضایعات میگوی ببری سبز با آنزیم فلاورزایم



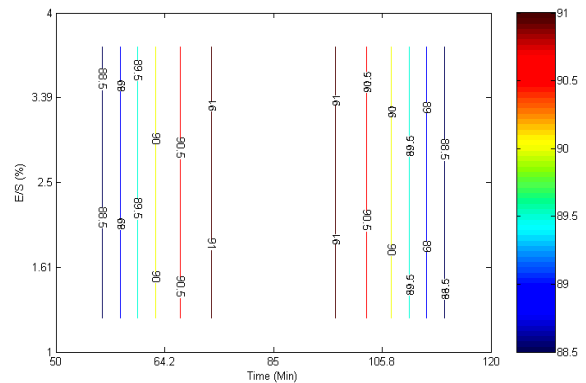
الف



الف



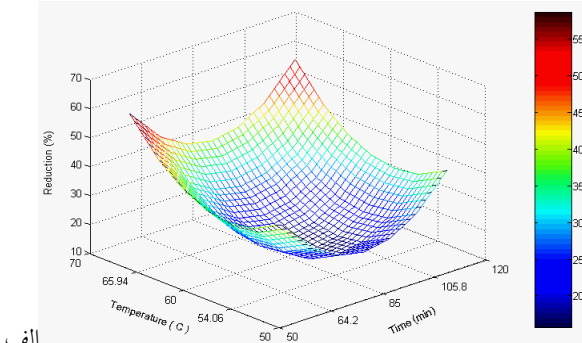
ب



ب

شکل ۶: سطح پاسخ سه بعدی (الف) و کانتور دو بعدی (ب) تأثیر همزمان دما و زمان بر قدرت دفع رادیکال آزاد هیدروکسیل پروتئین هیدرولیز شده ضایعات میگوی ببری سبز با آنزیم فلاورزایم

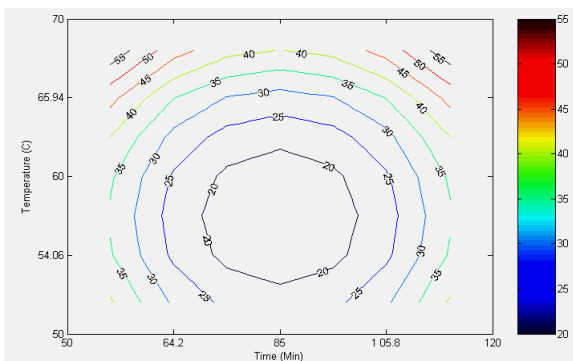
شکل ۵: سطح پاسخ سه بعدی (الف) و کانتور دو بعدی (ب) تأثیر همزمان مقدار آنزیم و زمان بر قدرت دفع رادیکال آزاد هیدروکسیل پروتئین هیدرولیز شده ضایعات میگوی ببری سبز با آنزیم فلاورزایم



الف

۳-۳-۲- اثر شرایط مختلف تولید بر قدرت احیای آهن پروتئین هیدرولیز شده تولیدی با آنزیم فلاورزایم

آنالیز واریانس اثر ساده متغیرهای فرآیند بر قدرت احیای آهن (جدول ۵) پروتئین هیدرولیز شده با فلاورزایم نشان می‌دهد که اثر دو متغیر دما و زمان واکنش معنی‌دار شده است ($p < 0.05$). نمودارهای سطح پاسخ و کانتور (شکل ۷) نشان می‌دهد که با افزایش همزمان دما و زمان واکنش قدرت احیای آهن پروتئین هیدرولیز شده میگوی ببری سبز با آنزیم فلاورزایم افزایش یافته است. همچنین با افزایش دما در مدت زمان ثابت قدرت احیای آهن پروتئین هیدرولیز شده افزایش یافته است.



ب

شکل ۷: سطح پاسخ سه بعدی (الف) و کانتور دو بعدی (ب) تأثیر همزمان دما و زمان بر قدرت احیای آهن پروتئین هیدرولیز شده ضایعات میگوی ببری سبز با آنزیم فلاورزایم

جدول ۸ مقادیر عوامل متغیر در نقاط تیمار بهینه مربوط به آنزیم

مشاهدات	آنزیم	نسبت آنزیم به سویسترا (%)	دما (°C)	زمان (دقیقه)	مقادیر پاسخ (%)
۷	فلاورزایم	۱/۶۱	۵۴/۰۶	۱۰۵/۸	۷۵/۶۳

به طور کلی فعالیت آنتی‌اکسیدانی پروتئین هیدرولیز شده بستگی به پروتئاز به کار برده، ماده اولیه و شرایط به کار گرفته در آزمایش دارد، از اینرو نتایج بدست آمده همیشه موافق یکدیگر نبوده و گاهی حتی در تضاد با یکدیگرند [۲۶، ۲۷]. رادیکال هیدروکسیل یک اکسیدان اختصاصی برای لیپیدهاست و قدرت دفع رادیکال هیدروکسیل توسط یک آنتی‌اکسیدان به طور مستقیم با پیشگیری از گسترش فرآیند اکسیداسیون لیپیدها مرتبط است [۲۶].

حداکثر قدرت دفع رادیکال هیدروکسیل در نقاط مرکزی بوده است. یکی از نقاطی (تیمار مرکزی شماره ۱۵) که حداکثر قدرت دفع رادیکال هیدروکسیل (۹۲/۹٪) را نشان داده بر نقطه بالاترین درجه هیدرولیز (۳۳/۵٪) منطبق است. در پژوهش حاضر آنچنان‌که در معادله‌های جدول ۴ ارائه گردیده است فعالیت دفع رادیکال هیدروکسیل هیدرولیز شده با آنزیم فلاورزایم با هر سه متغیر نسبت آنزیم به سویسترا، دما و مدت زمان واکنش در ارتباط بوده و با افزایش هر سه متغیر تا رسیدن به نقطه مرکزی فعالیت بازدارندگی رادیکال هیدروکسیل پروتئین هیدرولیز شده افزایش یافته است. اما در مورد اثر مقدار آنزیم بر قدرت دفع رادیکال هیدروکسیل معنی‌دار نشده است ($p > 0.05$) (جدول ۵).

در پژوهشی روی بررسی خواص آنتی‌اکسیدانی پروتئین هیدرولیز شده کپور نقره‌ای (*Hypophthalmichthys molitrix*) با آنزیم‌های آلکالاز و فلاورزایم، محققین دریافتند که پروتئین هیدرولیز شده تولیدی با آنزیم آلکالاز درصد دفع رادیکال هیدروکسیل بیشتری نسبت به فرآورده هیدرولیز شده با آنزیم فلاورزایم از خود نشان داده است و اظهار داشتند که دلیل این امر می‌تواند مربوط به بالاتر بودن درجه هیدرولیز آلکالاز نسبت به فلاورزایم باشد. همچنین گزارش نمودند که رابطه مستقیمی بین فعالیت بازدارندگی رادیکال هیدروکسیل و مقدار آنزیم استفاده شده برای تولید پروتئین هیدرولیز شده وجود دارد [۲۸].

۳-۴- انتخاب تیمار بهینه

با توجه به نتایج کمی حاصل از آزمایش‌های خواص آنتی‌اکسیدانی (جدول ۲) تیمار بهینه تولید شده با آنزیم فلاورزایم انتخاب شد (جدول ۸).

۴- بحث

در سال‌های اخیر، فعالیت آنتی‌اکسیدانی پپتیدهای زیست فعال حاصل از هیدرولیز منابع پروتئینی مختلف، توجه زیادی را به خود جلب کرده اند [۲۲]. از این رو، تولیدات آبی و ضایعات آن‌ها می‌توانند موارد خوبی از این پپتیدهای زیست فعال باشند [۲۳، ۲۴].

با بررسی که روی ماکرل و ماهی *Aphanopus carbo* انجام شد، محققین گزارش نمودند که قدرت دفع رادیکال آزاد DPPH پروتئین هیدرولیز شده با افزایش مدت زمان واکنش افزایش می‌یابد که با پژوهش حاضر مطابقت ندارد، این امر می‌تواند به دلیل تفاوت در ماده اولیه مورد استفاده یا شرایط مختلف به کار گرفته در فرآیند هیدرولیز مانند دما، مقدار آنزیم و نسبت آب به ماده خام ایجاد شده باشد. در پژوهش حاضر بالاترین درصد قدرت دفع رادیکال آزاد DPPH برای پروتئین هیدرولیز شده با آنزیم فلاورزایم معادل ۹۵/۸٪ بوده است [۲۵]. در تحقیقی دیگر تاثیر آنزیم فلاورزایم در دفع رادیکال آزاد روی ماهی *Catla catla*، $70/45 \pm 0/35\%$ گزارش شد [۲۴].

معادله‌های جدول ۳ نشان می‌دهند که هر سه متغیر بررسی شده یعنی نسبت آنزیم به سویسترا، دما و زمان بر فعالیت بازدارندگی رادیکال آزاد DPPH برای پروتئین هیدرولیز شده تولید شده با فلاورزایم تأثیر گذار است. در مجموع هیدرولیز شده‌ها با آنزیم فلاورزایم فعالیت بیشتری برای دفع رادیکال DPPH در مقایسه با رادیکال هیدروکسیل و قدرت احیای آهن از خود نشان دادند.

میگوی ببری سبز (*P. semisulcatus*) مورد بررسی قرار گرفت. با توجه به نتایج تیمارهای تولید شده، در خصوص خواص آنتی اکسیدانی، پاسخ بهتری به دفع رادیکال DPPH در مقایسه با دفع رادیکال هیدروکسیل و قدرت احیای آهن نشان دادند. همچنین تحقیق حاضر نشان داد که کاربرد روش سطح پاسخ جهت بهینه سازی شرایط تولید پروتئین هیدرولیز شده از ضایعات میگوی ببری سبز روشی سودمند و دقیق می باشد. نتایج این پژوهش نشان می دهد که پروتئین هیدرولیز شده حاصل از آنزیم فلاورزایم دارای مقادیر بالای پروتئین بوده و خواص مناسب آنتی اکسیدانی دارد و می تواند در فرمولاسیون غذای آبزیان، دام و طیور به عنوان جایگزینی برای آرد ماهی پیشنهاد شود و همچنین می تواند به عنوان آنتی اکسیدان طبیعی برای جلوگیری از فساد لیپیدها مورد استفاده قرار گیرد.

۵- منابع

- [1]. Yanar, Y., Celik, M. and Yanar, M. 2004. Seasonal changes in total carotenoid contents of wild marine shrimps (*Penaeus semisulcatus* and *Metapenaeus monoceros*) inhabiting the eastern Mediterranean. Food Chemistry. 88: 267-269.
- [2] Aktas, M., Kumlu, M. and Eroldogan, O. T. 2003. Off-season maturation and spawning of *Penaeus semisulcatus* by eyestalk ablation and/or temperature-photoperiod regims. Aquaculture, 228: 361-370.
- [3] Yilmaz, A. B. and Yilmaz, L. 2007. Influences of sex and seasons on levels of heavy metals in tissues of green tiger shrimp (*Penaeus semisulcatus* de Hann, 1844). Food Chemistry. 101: 1664-1669.
- [4] Niamaimandi, N., Bin Arshad, A., Daud, S. K., Cheroos Saed, R. and Kiabi, B. 2007. Population dynamic of green tiger prawn, *Penaeus semisulcatus* (De Haan) in Bushehr coastal waters, Persian Gulf. Fisheries Research. 86: 105-112.
- [5] FAO. 2005. Food and Agriculture Organisation of the United Nations. Year book of fishery statistics.
- [6] Boerema, L. K. 1969. The shrimp resources in the Gulf between Iran and the Arabian Peninsula. FAO Fish Circular. No 310, 29 p.
- نتایج حاصل از پژوهش حاضر نشان دادند که از میان تیمارهای تولید شده با آنزیم فلاورزایم بالاترین قدرت احیای آهن (۴۹/۷٪) در یکی از نقاط حداکثر درجه هیدرولیز (تیمار ۷، ۳۳/۵٪) مشاهده شده است. در پژوهشی روی ماهی *A. carbo* مشخص شد که قدرت احیای آهن پروتئین هیدرولیز شده تولیدی با افزایش درجه هیدرولیز آن به تدریج افزایش می یابد، که این موضوع ارتباط مستقیم بین درجه هیدرولیز پروتئین هیدرولیز شده و توانایی آن برای دادن الکترون به رادیکالهای آزاد را ارائه می دهد. در تحقیق حاضر در خصوص تیمارهای تولید شده با آنزیم فلاورزایم، دو عامل دما و زمان بر قدرت احیای آهن پروتئین هیدرولیز شده مؤثر بوده اند (جدول ۴) و اثر هر دو متغیر بر قدرت احیای آهن پروتئین هیدرولیز شده با آنزیم فلاورزایم معنی دار شده است ($p < 0.05$) (جدول ۵) [۲۶].
- در پژوهش حاضر همان گونه که بیان شد (شکل ۷)، افزایش دما سبب افزایش قدرت احیای آهن پروتئین هیدرولیز شده میگوی ببری سبز شده است. افزایش دما سبب کاهش خواص آنتی اکسیدانی پروتئین هیدرولیز شده می شود و این موضوع می تواند به دلیل ویژگی های حرارتی پروتئین سارکوپلاسما میک مورد استفاده باشد که این موضوع با یافته حاصل از پژوهش حاضر مطابقت ندارد و دلیل این امر می تواند تفاوت در ماهیت ماده اولیه مورد استفاده، شرایط مختلف به کار برده در فرآیند و نوع پروتئاز مورد استفاده باشد [۲۲].
- در مورد تیمارهای تولید شده با آنزیم فلاورزایم تیمار ۷ و تیمار ۱۱ با اختلاف ناچیز، دارای خواص آنتی اکسیدانی مطلوب هستند، اما با توجه به مقدار آنزیم و نیز دمای کمتر به کار گرفته در تیمار ۷ (جدول ۱)، این تیمار به عنوان تیمار بهینه برای پروتئین هیدرولیز شده با آنزیم فلاورزایم انتخاب شد. نتایج این پژوهش نشان می دهد که پروتئین هیدرولیز شده حاصل از ضایعات میگوی ببری سبز با استفاده از آنزیم فلاورزایم، دارای مقادیر بالای پروتئین بوده، خواص آنتی-اکسیدانی مناسب دارد و می تواند در فرمولاسیون غذای آبزیان، دام و طیور به عنوان جایگزینی برای آرد ماهی پیشنهاد شود و همچنین می تواند به عنوان آنتی اکسیدان طبیعی برای جلوگیری از فساد لیپیدها مورد استفاده قرار گیرد.
- در تحقیق حاضر اثر آنزیم پروتئاز تجاری فلاورزایم بر خواص آنتی اکسیدانی پروتئین های هیدرولیز شده ضایعات سرسینه

- Shahiri, H. 2009. The effect of enzymatic hydrolysis time and temperature on the properties of protein hydrolysates from the Persian sturgeon (*Accipenser persicus*) viscera. *Food Chemistry*. 115: 238-242.
- [17] Kristinsson, H. G. and Rasco, B. A. 2000. Fish protein hydrolysates: Production, biochemical and functional properties. *Critical Reviews in Food Science and Nutrition*. 40: 43-81.
- [18] Hoyle, N. T. and Merritt, J. H. 1994. Quality of fish protein hydrolysate from herring (*Clupea harengus*). *Food Science*. 59: 76-79.
- [19] Shimada, K., Fujikawa, K., Yahara, K. and Nakamura, T. 1992. Antioxidative properties of xanthan on the antioxidation of soybean oil in cyclodextrin emulsion. *Agricultural and Food Chemistry*. 40: 945-948.
- [20] Chung, S. K., Osawa, T. and Kawakishi, S. 1997. Hydroxyl radical scavenging effects of spices and scavengers from Brown Mustard (*Brassica nigra*). *Bioscience, Biotechnology, and Biochemistry*. 61: 118-123.
- [21] Oyaizu, M. 1986. Studies on products of browning reaction: antioxidative activity of products of browning reaction. *Japanese Journal of Nutrition*. 44: 307-315.
- [22] Ren, J., Zhao, M., Shi, J., Wang, J., Jiang, Y., Cui, C., Kakuda, Y. and Jun Xue, S. 2008. Optimization of antioxidant peptide production from grass carp sarcoplasmic protein using response surface methodology. *Food Science and Technology*. 41: 1624-1632.
- [23] Li, X., Luo, Y., Shen, H. and You, J. 2012. Antioxidant activities and functional properties of grass carp (*Ctenopharyngodon idellus*) protein hydrolysates. *Science of Food and Agriculture*. 92: 292-298.
- [24] Elavarasan, K., Naveen Kumar, V. and Shamasundar, B. A. 2013. Antioxidant and functional properties of fish protein hydrolysates from fresh water carp (*Catla catla*) as influenced by the nature of enzyme. *J. Food Process. Pres.* DOI: 10.1111/jfpp.12081.
- [25] Wu, H. C., Chen, H. M. and Shiau, C. Y. 2003. Free amino acids and peptides as related to antioxidant properties in protein hydrolysates of mackerel (*Scomber austriasicus*). *Food Research International*. 36: 949-957.
- [7] Gildberg, A. and Stenberg, E. 2001. A new process for advanced utilisation of shrimp waste. *Process Biochemistry*, 36: 809-812.
- [8] Cheung, I. W. Y. and Li-Chan, E. C. Y. 2010. Angiotensin-I-converting enzyme inhibitory activity and bitterness of enzymatically-produced hydrolysates of shrimp (*Pandalopsis dispar*) processing byproducts investigated by Taguchi design. *Food Chemistry*. 122: 1003-1012.
- [9] FitzGerald, R. J. and O'Cuinn, G. 2006. Enzymatic debittering of food protein hydrolysates. *Biotechnology Advances*, 24: 234-237.
- [10] Betty, M., Awuor, O. L., Kirwa, M. E. and Jackim, M. F. 2014. Antioxidative and Functional Properties of *Rastrineobola argentea* (Dagaa) Fish protein hydrolysate. *Discourse Journal of Agriculture and Food Sciences*. 2: 180-189.
- [11] Hou, H., Bafang, L., Xue, Z., Zhaohui, Z. and Pinglin, L. 2011. Optimization of enzymatic hydrolysis of Alaska pollock frame for preparing protein hydrolysates with low-bitterness. *Food Science and Technology*. 44: 421-428.
- [12] Hathwar, S. C., Bijinu, B., Rai, A. K. and Narayan, B. 2011. Simultaneous recovery of lipids and proteins by enzymatic hydrolysis of fish industry waste using different commercial proteases. *Applied Biochemistry and Biotechnology*. 164: 115-124.
- [13] Diniz, F. M. and Martin, A. M. 1996. Use of response surface methodology to describe the combined effects of pH, temperature and E/S ratio on the hydrolysis of dogfish (*Squalus acanthias*) muscle. *International Journal of Food Science and Technology*. 31, 419-426.
- [14] Guerard, F., Sumaya-Martinez, M. T., Laroque, D., Chabeaud, A. and Dufosse, L. 2007. Optimization of free radical scavenging activity by response surface methodology in the hydrolysis of shrimp processing discards. *Process Biochemistry*. 42: 1486-1491.
- [15] Guerard, F., Dufosse, L., De La Broise, D. and Binet, A. 2001. Enzymatic hydrolysis of proteins from yellowfin tuna (*Thunnus albacares*) wastes using Alcalase. *Journal of Molecular Catalysis B: Enzymatic*. 11: 1051-1059.
- [16] Ovissipour, M., Abedian, A. M., Motamedzadegan, A., Rasco, B., Safari, R.

- from enzymatic hydrolysate of yellowfin sole (*Limanda aspera*) frame protein. European Food Research Technology. 219: 20-26.
- [28] Dong, S., Zeng, M., Wang, D., Liu, Z., Zhao, Y. and Yang, H. 2008. Antioxidant and biochemical properties of protein hydrolysates prepared from Silver carp (*Hypophthalmichthys molitrix*). Food Chemistry. 107: 1485–1493.
- [26] Batista, I., Ramos, C., Coutinho, J., Bandarra, N. M. and Nunes, M. L. 2010. Characterization of protein hydrolysates and lipids obtained from black scabbardfish (*Aphanopus carbo*) by-products and antioxidative activity of the hydrolysates produced. Journal of Process Biochemistry. 45: 18-24.
- [27] Jun, S. Y., Park, P. J., Jung, W. K., and Kim, S. K. 2004. Purification and characterization of an antioxidative peptide

Effect of enzymatic hydrolysis time, temperature and enzyme to substrate ratio on antioxidant properties of prawn bioactive peptides

Shabanpour, B. ¹, Kordjazi, M. ^{2*}, Nazari, Kh. ³, Esmaeili Khariki, M. ⁴

1, 2, 3. Gorgan University of Agricultural Sciences and Natural Resources

4. Tarbiat Modares University, Noor

(Received: 93/11/13 Accepted: 93/12/23)

Skin, bones, frames, heads and tails are by-products produced during the processing of fish and prawn. These by-products can be enzymatically hydrolyzed and be converted products with beneficial functional properties. So, Protein hydrolysates were prepared from green tiger prawn (*Penaeus semisulcatus*) waste using flavourzyme and response surface methodology (RSM) based on 18 treatments was applied to study the effect of enzyme to substrate ratio, temperature and time on the protein. The antioxidant activities were measured using 2,2-diphenyl-1-picryl-hydrazyl (DPPH), hydroxyl radical-scavenging activity and ferric reducing antioxidant power. Totally, products have shown better response in 2,2-diphenyl-1-picryl-hydrazyl (DPPH) scavenging activity in comparison to hydroxyl radical-scavenging activity and Ferric (Fe^{3+}) reducing antioxidant activity.. Among the treatments produced, 7 treatment (hydrolysis temperature of 54.6 °C together with enzyme to substrate ratio of 1.61 % and hydrolysis time of 105.8 min) with degree of hydrolysis (33.5%) and protein (79.5%) were the optimum conditions to obtain the highest antioxidant properties. These results suggested that prawn waste protein hydrolysates could be useful in the food industry.

Keywords: Flavourzyme, Response surface, Antioxidant, *Penaeus semisulcatus*

*Corresponding Author E-Mail Address: kordjazi.m@gmail.com